

COSMOLOGICAL PERSPECTIVES ON VERY-METAL POOR STARS

E. Rollinde

Daigne et al., 2006, ApJ, 647, 773

E. Vangioni

RVMODV, 2008, ApJ, 0806.2663

D. Maurin

K. Olive

F. Daigne

INSTITUT D'ASTROPHYSIQUE DE PARIS

Unité mixte de recherche 7095



CNRS - Université Pierre et Marie Curie

UPMC
PARISUNIVERSITAS

CONTEXT :

From first stars to galactic halo stars, and back to first stars...

DIFFERENT INPUTS :

Simulations – PopIII stars

Observations – Metal poor halo galactic stars

[Link](#)

MODELS and RESULTS :

PopII / PopIII.1 / PopIII.2 stars

Cosmological perspectives

CONCLUSION

INSTITUT D'ASTROPHYSIQUE DE PARIS

Unité mixte de recherche 7095

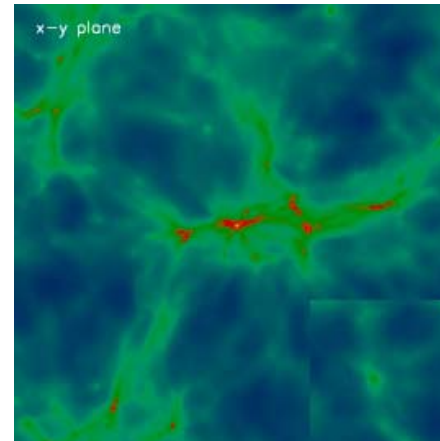


CNRS - Université Pierre et Marie Curie

UPMC
PARIS UNIVERSITAS

**Formation of the first
(Massive) Stars**

?



Greif, Johnson,
Bromm al. 07

Formation of low mass stars



0.1 Gyr
(z~30)

0.2 Gyr
(z~20)

13.6 Gyr

Observation of halo stars

Abundances (H, Fe, C, O, Si...)

See also Wise & Abel, 2007 ; O’Shea et al 20007 ; Smith et al. 2008;
Johnson et al. 2007 ; Yoshida et al. 2007

INSTITUT D'ASTROPHYSIQUE DE PARIS

Unité mixte de recherche 7095



CNRS - Université Pierre et Marie Curie

UPMC
PARIS UNIVERSITAS

HK-HES surveys (Beers et al.1992) ; Hamburg-ESO survey (Christlieb et al. 2002)
ESO-LP “First Stars” (Cayrel et al. 2004) ; Frebel ; Aoki ; Cohen ; Norris...

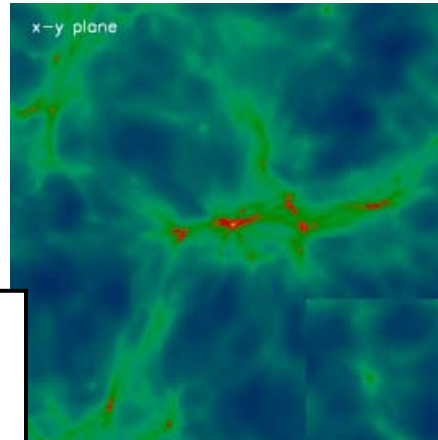
**Formation of the first
(Massive) Stars**

NEW AREA...

From first stars feedback (0.1-0.2 Gyr)...

To observed abundances in galactic halo stars

→ Constraints on cosmological history of different (massive) stars



Greif, Johnson,
Bromm al. 07

0.1 Gyr
($z \sim 30$)

0.2 Gyr
($z \sim 20$)

Formation of low mass stars



13.6 Gyr

Observation of halo stars

Abundances (H, Fe, C, O, Si...)

HK-HES surveys (Beers et al. 1992) ; Hamburg-ESO survey (Christlieb et al. 2002)
ESO-LP “First Stars” (Cayrel et al. 2004) ; Frebel ; Aoki ; Cohen ; Norris...

INSTITUT D'ASTROPHYSIQUE DE PARIS

Unité mixte de recherche 7095



CNRS - Université Pierre et Marie Curie

UPMC
PARIS UNIVERSITAS

Inputs from simulations

Hierarchical formation
Massive stars
Yields

Model of star formation

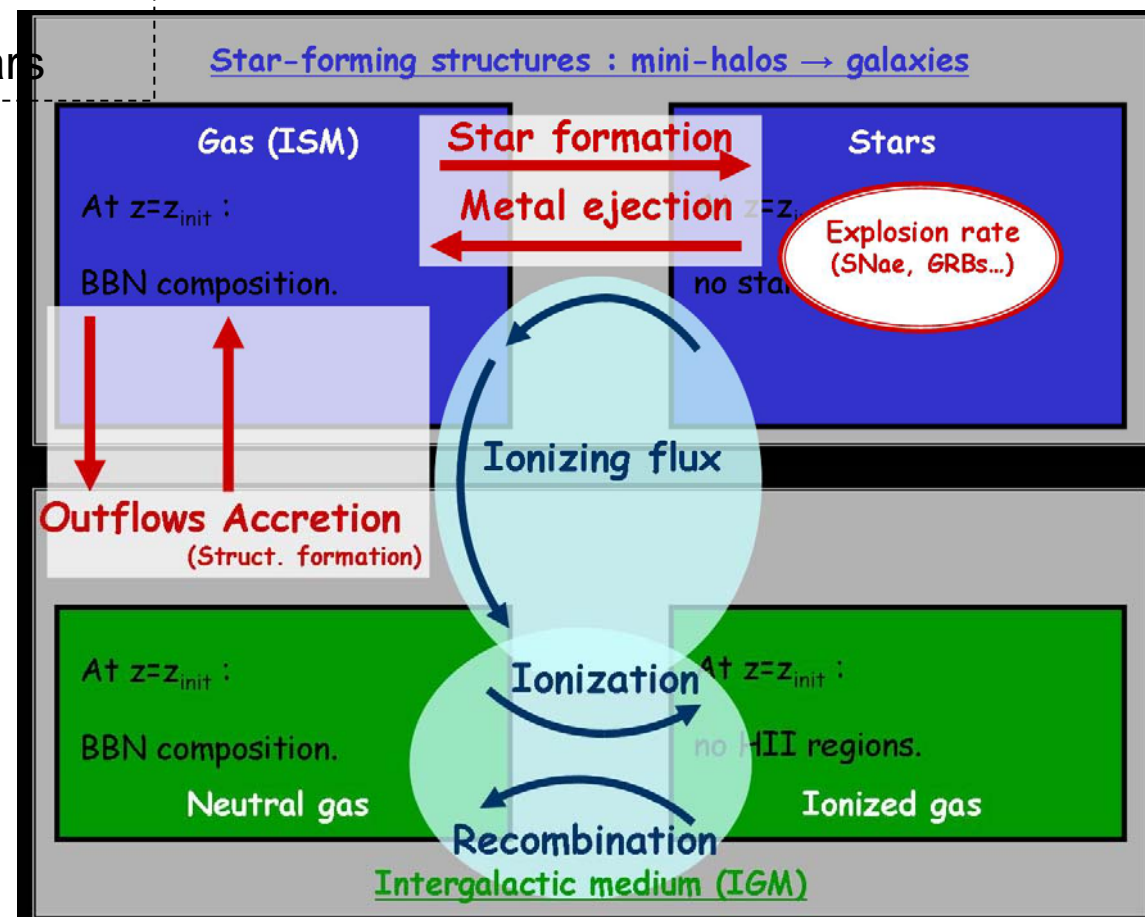
1. Structures follow Press Schechter
2. Follow mean IGM / ISM / Stars

(Daigne et al. 2006)

Press Schechter
SFR
Yields

See poster by
D. Maurin
(CCR + LiBeB)

Abundances



INSTITUT D'ASTROPHYSIQUE DE PARIS

Unité mixte de recherche 7095

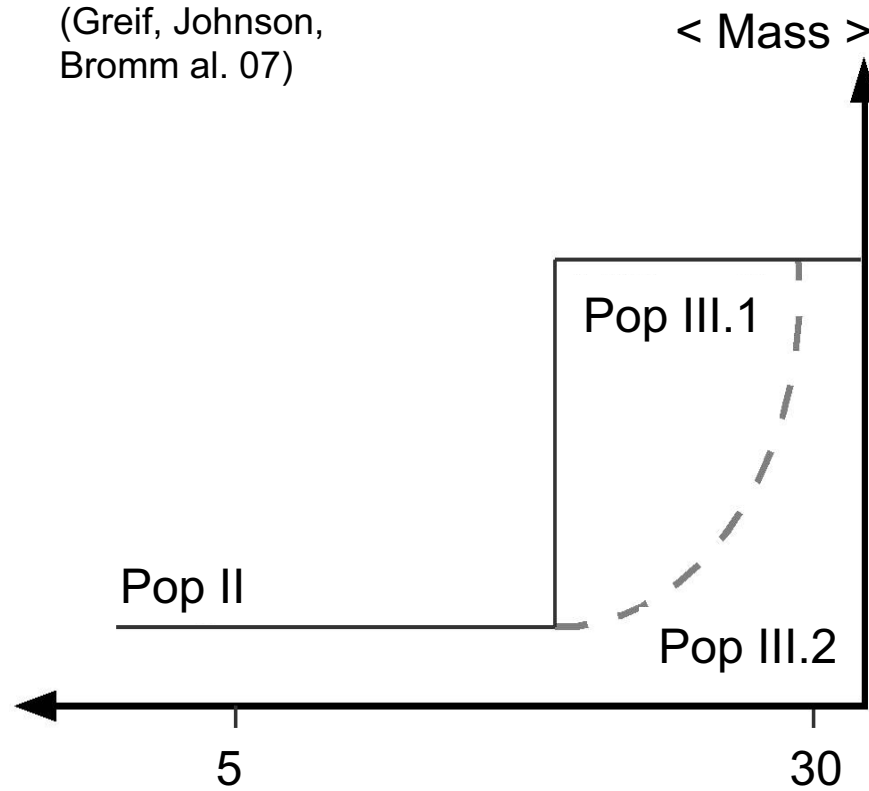


CNRS - Université Pierre et Marie Curie

UPMC
PARISUNIVERSITAS

Massive stars

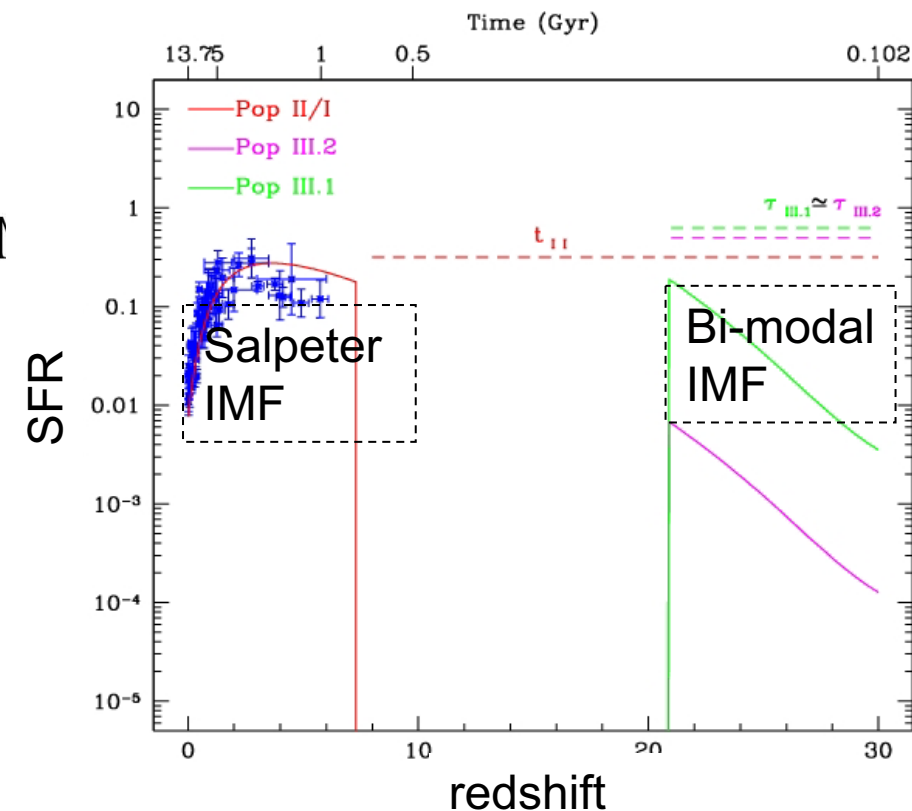
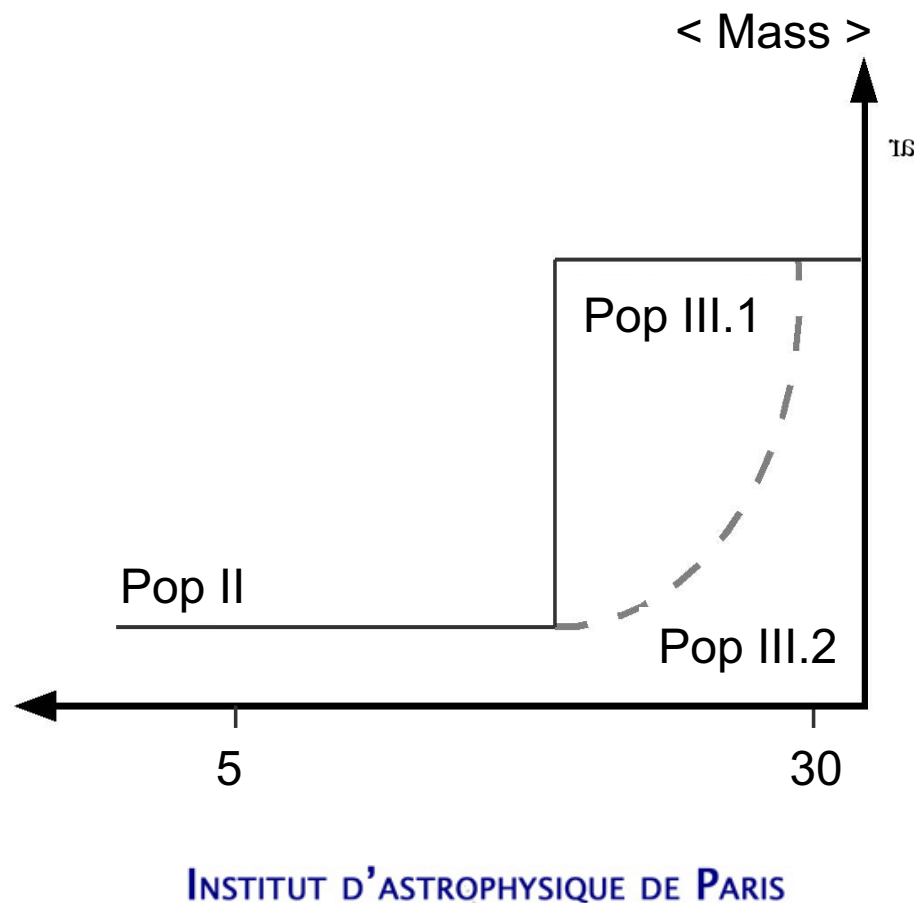
(Greif, Johnson,
Bromm al. 07)



Three modes of star formation triggered by **metallicity**

- Very massive PopIII.1 (>100 Msun)
- Massive PopIII.2 (few 10 Msun)
- Intermediate mass PopII
- Low-Mass stars at high z ?
(Smith et al. 2008)

Model of star formation



Press Schechter
SFR
Yields

Abundances

Yields

Massive stars yields...

➤ Yields of
D, He, C, N, O, Mg, Si, S, Ca, Fe, Zn

➤ For different mass, metallicity

➤ Scenario for the stellar explosion

< 8 Msun : Van den Hoek & Groenewegen 1997

8 – 100 : Woosley & Weaver 1995 (HW08)

> 100 : Heger et al. 2003

> 270 : massive black holes...

Pop III Stars 10–100M_⊙TABLE 7
Post-supernova Yields in Solar Masses, 0.6Ms, Standard Mixing, S = 4 Proton

isotope	10M _⊙	12M _⊙	15M _⊙	20M _⊙	25M _⊙	35M _⊙	50M _⊙	75M _⊙	100M _⊙
¹ H	5.29	6.93	7.43	9.23	1.03 · 10 ³	1.23 · 10 ⁴	1.83 · 10 ⁴	2.10 · 10 ⁴	2.74 · 10 ⁴
² H	2.22 · 10 ⁻³	1.25 · 10 ⁻⁶	1.04 · 10 ⁻⁶	9.26 · 10 ⁻⁷	8.71 · 10 ⁻⁷	7.60 · 10 ⁻⁷	5.20 · 10 ⁻⁷	3.40 · 10 ⁻⁷	4.62 · 10 ⁻⁷
³ H	5.83 · 10 ⁻³	6.28 · 10 ⁻⁵	7.92 · 10 ⁻⁵	6.98 · 10 ⁻⁵	8.07 · 10 ⁻⁵	9.23 · 10 ⁻⁵	1.15 · 10 ⁻⁴	1.63 · 10 ⁻⁴	2.81 · 10 ⁻⁴
⁴ H	3.25	3.82	6.28	5.94	6.80	5.85	1.52 · 10 ⁻¹	2.35 · 10 ⁻¹	2.81 · 10 ⁻¹
⁵ Li	1.63 · 10 ⁻¹²	6.26 · 10 ⁻¹²	1.77 · 10 ⁻¹²	4.47 · 10 ⁻¹³	1.71 · 10 ⁻¹²	5.98 · 10 ⁻¹⁴	7.19 · 10 ⁻¹³	6.82 · 10 ⁻¹³	1.26 · 10 ⁻¹²
⁷ Li	8.24 · 10 ⁻⁸	1.06 · 10 ⁻⁷	4.10 · 10 ⁻⁷	1.93 · 10 ⁻⁷	2.93 · 10 ⁻⁷	4.94 · 10 ⁻⁸	5.22 · 10 ⁻⁸	2.17 · 10 ⁻⁷	2.17 · 10 ⁻⁷
⁹ Be	7.87 · 10 ⁻¹²	1.05 · 10 ⁻¹¹	1.02 · 10 ⁻¹²	9.66 · 10 ⁻¹³	7.03 · 10 ⁻¹²	1.89 · 10 ⁻¹⁴	2.45 · 10 ⁻¹³	3.22 · 10 ⁻¹²	7.65 · 10 ⁻¹²
¹⁰ B	2.50 · 10 ⁻¹⁰	1.06 · 10 ⁻¹⁰	1.07 · 10 ⁻¹⁰	7.03 · 10 ⁻¹¹	1.06 · 10 ⁻¹⁰	5.25 · 10 ⁻¹²	5.23 · 10 ⁻¹⁰	5.25 · 10 ⁻¹²	1.24 · 10 ⁻¹⁰
¹¹ B	1.18 · 10 ⁻⁷	1.67 · 10 ⁻⁷	8.66 · 10 ⁻⁸	7.98 · 10 ⁻⁸	1.01 · 10 ⁻⁷	3.16 · 10 ⁻⁹	5.24 · 10 ⁻⁷	2.80 · 10 ⁻⁷	6.84 · 10 ⁻⁸
¹² C	3.19 · 10 ⁻²	5.06 · 10 ⁻²	4.26 · 10 ⁻²	4.11 · 10 ⁻²	6.53 · 10 ⁻²	4.52 · 10 ⁻³	9.15 · 10 ⁻¹	6.76 · 10 ⁻¹	4.00 · 10 ⁻¹
¹³ C	7.02 · 10 ⁻⁶	2.06 · 10 ⁻⁶	1.11 · 10 ⁻⁶	1.64 · 10 ⁻⁶	1.46 · 10 ⁻⁶	1.46 · 10 ⁻⁷	3.27 · 10 ⁻²	2.85 · 10 ⁻²	1.67 · 10 ⁻²
¹⁴ N	9.96 · 10 ⁻⁷	1.18 · 10 ⁻⁶	1.03 · 10 ⁻⁶	1.17 · 10 ⁻⁶	9.86 · 10 ⁻⁷	7.65 · 10 ⁻⁷	1.25 · 10 ⁻¹	2.01 · 10 ⁻¹	2.24 · 10 ⁻⁴
¹⁵ N	1.79 · 10 ⁻⁷	4.76 · 10 ⁻⁶	4.42 · 10 ⁻⁶	4.84 · 10 ⁻⁶	4.76 · 10 ⁻⁶	2.86 · 10 ⁻⁷	1.93 · 10 ⁻⁵	2.02 · 10 ⁻⁵	6.51 · 10 ⁻⁴
¹⁶ O	3.67 · 10 ⁻²	1.27 · 10 ⁻¹	1.02 · 10 ⁻¹	1.27 · 10 ⁻¹	1.02 · 10 ⁻¹	1.02 · 10 ⁻²	3.24 · 10 ⁻³	2.50 · 10 ⁻³	5.13 · 10 ⁻³
¹⁷ O	4.61 · 10 ⁻⁷	1.25 · 10 ⁻⁶	1.54 · 10 ⁻⁶	3.41 · 10 ⁻⁶	5.86 · 10 ⁻⁶	1.16 · 10 ⁻⁷	5.42 · 10 ⁻⁴	1.54 · 10 ⁻⁴	8.13 · 10 ⁻⁶
¹⁸ O	1.21 · 10 ⁻³	2.65 · 10 ⁻⁸	3.02 · 10 ⁻⁸	2.04 · 10 ⁻⁸	9.66 · 10 ⁻⁸	1.85 · 10 ⁻⁹	7.80 · 10 ⁻⁷	1.95 · 10 ⁻⁶	1.04 · 10 ⁻⁶
¹⁹ F	1.24 · 10 ⁻⁶	6.94 · 10 ⁻⁸	3.67 · 10 ⁻⁶	1.26 · 10 ⁻⁶	9.78 · 10 ⁻⁷	1.20 · 10 ⁻⁷	7.46 · 10 ⁻⁶	8.27 · 10 ⁻⁶	5.63 · 10 ⁻⁷
²⁰ Mg	1.28 · 10 ⁻³	8.62 · 10 ⁻⁴	3.01 · 10 ⁻²	1.01 · 10 ⁻²	1.23 · 10 ⁻³	3.60 · 10 ⁻³	2.40 · 10 ⁻¹	3.03 · 10 ⁻¹	4.10 · 10 ⁻¹
²¹ Mg	6.14 · 10 ⁻⁶	9.07 · 10 ⁻⁵	5.93 · 10 ⁻⁵	1.93 · 10 ⁻⁴	7.90 · 10 ⁻⁷	8.20 · 10 ⁻⁷	2.89 · 10 ⁻²	9.99 · 10 ⁻⁵	6.75 · 10 ⁻⁵
²² Mg	3.98 · 10 ⁻⁶	4.74 · 10 ⁻⁸	3.60 · 10 ⁻⁶	1.90 · 10 ⁻⁶	7.29 · 10 ⁻⁷	2.69 · 10 ⁻⁷	8.36 · 10 ⁻²	4.19 · 10 ⁻⁵	5.23 · 10 ⁻⁵
²³ Na	1.63 · 10 ⁻⁴	1.74 · 10 ⁻⁶	3.04 · 10 ⁻⁵	9.96 · 10 ⁻⁵	3.25 · 10 ⁻⁵	1.02 · 10 ⁻⁵	2.90 · 10 ⁻⁴	4.69 · 10 ⁻⁴	7.79 · 10 ⁻⁵
²⁴ Mg	1.76 · 10 ⁻³	1.68 · 10 ⁻⁵	6.44 · 10 ⁻³	3.26 · 10 ⁻³	7.17 · 10 ⁻³	5.89 · 10 ⁻⁴	2.63 · 10 ⁻²	8.91 · 10 ⁻²	8.84 · 10 ⁻²
²⁵ Mg	2.95 · 10 ⁻³	1.28 · 10 ⁻⁵	9.88 · 10 ⁻⁵	4.24 · 10 ⁻⁵	5.82 · 10 ⁻⁵	4.76 · 10 ⁻⁶	7.11 · 10 ⁻²	7.06 · 10 ⁻²	3.23 · 10 ⁻⁴
²⁶ Mg	2.39 · 10 ⁻³	4.93 · 10 ⁻⁶	1.27 · 10 ⁻⁵	5.80 · 10 ⁻⁵	5.80 · 10 ⁻⁵	5.10 · 10 ⁻⁶	7.70 · 10 ⁻²	7.95 · 10 ⁻²	9.99 · 10 ⁻⁵
²⁷ Al	6.03 · 10 ⁻³	1.19 · 10 ⁻⁴	1.06 · 10 ⁻⁴	7.69 · 10 ⁻⁵	2.20 · 10 ⁻⁴	1.20 · 10 ⁻⁵	3.20 · 10 ⁻⁴	2.45 · 10 ⁻³	6.62 · 10 ⁻⁴
²⁸ Si	2.17 · 10 ⁻³	4.49 · 10 ⁻⁵	4.09 · 10 ⁻⁵	1.24 · 10 ⁻⁵	2.94 · 10 ⁻⁵	4.60 · 10 ⁻⁶	3.66 · 10 ⁻⁵	1.17 · 10 ⁻⁴	5.34 · 10 ⁻⁵
²⁹ Si	3.04 · 10 ⁻³	1.49 · 10 ⁻⁴	2.03 · 10 ⁻⁵	8.41 · 10 ⁻⁵	5.13 · 10 ⁻⁵	7.64 · 10 ⁻⁶	3.65 · 10 ⁻⁵	2.85 · 10 ⁻⁴	2.81 · 10 ⁻⁵
³⁰ Si	7.63 · 10 ⁻³	1.49 · 10 ⁻⁵	5.14 · 10 ⁻⁵	3.40 · 10 ⁻⁵	3.40 · 10 ⁻⁵	6.60 · 10 ⁻⁶	2.67 · 10 ⁻⁵	2.85 · 10 ⁻⁴	1.06 · 10 ⁻⁴
³¹ P	6.08 · 10 ⁻³	2.14 · 10 ⁻⁴	3.43 · 10 ⁻⁵	1.49 · 10 ⁻⁵	1.49 · 10 ⁻⁵	1.06 · 10 ⁻⁷	1.20 · 10 ⁻⁵	6.69 · 10 ⁻³	1.01 · 10 ⁻³
³² S	2.15 · 10 ⁻³	5.02 · 10 ⁻³	3.80 · 10 ⁻³	9.68 · 10 ⁻⁴	9.92 · 10 ⁻⁴	1.76 · 10 ⁻⁵	2.38 · 10 ⁻³	4.20 · 10 ⁻³	1.49 · 10 ⁻²
³³ S	5.67 · 10 ⁻³	3.74 · 10 ⁻⁴	1.02 · 10 ⁻³	2.72 · 10 ⁻⁴	2.27 · 10 ⁻⁴	2.12 · 10 ⁻⁵	2.48 · 10 ⁻⁴	5.51 · 10 ⁻⁴	4.64 · 10 ⁻³
³⁴ S	2.71 · 10 ⁻⁴	1.63 · 10 ⁻³	2.02 · 10 ⁻³	9.35 · 10 ⁻⁴	5.65 · 10 ⁻⁴	1.24 · 10 ⁻⁴	4.04 · 10 ⁻⁵	1.11 · 10 ⁻⁵	3.27 · 10 ⁻³
³⁵ S	1.16 · 10 ⁻³	7.82 · 10 ⁻⁴	3.25 · 10 ⁻³	8.27 · 10 ⁻⁴	7.68 · 10 ⁻⁴	1.62 · 10 ⁻⁴	9.71 · 10 ⁻⁵	1.10 · 10 ⁻³	2.38 · 10 ⁻³
³⁶ Cl	5.21 · 10 ⁻³	3.07 · 10 ⁻⁴	7.00 · 10 ⁻⁴	1.70 · 10 ⁻⁴	1.27 · 10 ⁻⁴	1.18 · 10 ⁻⁵	1.66 · 10 ⁻⁴	4.77 · 10 ⁻⁴	1.69 · 10 ⁻³
³⁷ Cl	1.12 · 10 ⁻³	1.06 · 10 ⁻⁴	1.70 · 10 ⁻⁴	4.49 · 10 ⁻⁵	2.97 · 10 ⁻⁵	2.87 · 10 ⁻⁷	3.94 · 10 ⁻⁵	1.06 · 10 ⁻⁴	4.90 · 10 ⁻⁴
³⁸ Ar	3.17 · 10 ⁻³	1.81 · 10 ⁻³	5.02 · 10 ⁻³	1.27 · 10 ⁻³	1.01 · 10 ⁻³	1.30 · 10 ⁻⁴	3.81 · 10 ⁻⁴	6.82 · 10 ⁻⁴	1.77 · 10 ⁻³
³⁹ Ar	3.61 · 10 ⁻³	1.26 · 10 ⁻³	2.09 · 10 ⁻³	7.97 · 10 ⁻⁴	1.08 · 10 ⁻³	1.08 · 10 ⁻⁴	2.47 · 10 ⁻⁴	1.21 · 10 ⁻³	3.15 · 10 ⁻³
⁴⁰ Ar	3.10 · 10 ⁻¹⁰	1.17 · 10 ⁻¹¹	1.02 · 10 ⁻¹⁰	1.13 · 10 ⁻¹⁰	2.18 · 10 ⁻¹⁰				
⁴¹ K	6.03 · 10 ⁻³	3.69 · 10 ⁻⁴	8.57 · 10 ⁻⁴	2.90 · 10 ⁻⁴	7.77 · 10 ⁻⁴	1.02 · 10 ⁻⁵	1.24 · 10 ⁻⁴	4.54 · 10 ⁻⁴	6.80 · 10 ⁻⁴
⁴² K	4.71 · 10 ⁻³	4.49 · 10 ⁻⁵	1.43 · 10 ⁻⁵	1.43 · 10 ⁻⁵	9.17 · 10 ⁻⁵	9.60 · 10 ⁻⁶	1.02 · 10 ⁻⁵	2.68 · 10 ⁻⁵	3.23 · 10 ⁻⁵
⁴³ Ca	2.29 · 10 ⁻³	2.74 · 10 ⁻⁴	1.04 · 10 ⁻⁴	4.20 · 10 ⁻⁴	4.67 · 10 ⁻⁴	1.02 · 10 ⁻⁵	1.42 · 10 ⁻⁵	4.20 · 10 ⁻⁵	1.82 · 10 ⁻⁵
⁴⁴ Ca	1.20 · 10 ⁻³	7.47 · 10 ⁻⁴	8.06 · 10 ⁻⁴	7.25 · 10 ⁻⁴	6.81 · 10 ⁻⁴	6.60 · 10 ⁻⁵	1.08 · 10 ⁻⁴	3.74 · 10 ⁻⁵	1.88 · 10 ⁻⁵
⁴⁵ Ca	8.80 · 10 ⁻⁷	6.07 · 10 ⁻⁷	2.05 · 10 ⁻⁷	2.05 · 10 ⁻⁷	6.81 · 10 ⁻⁸	1.08 · 10 ⁻⁸	1.72 · 10 ⁻¹¹	1.33 · 10 ⁻⁸	1.05 · 10 ⁻⁸
⁴⁶ Ca	1.21 · 10 ⁻³	9.69 · 10 ⁻⁶	1.69 · 10 ⁻⁶	3.82 · 10 ⁻⁷	4.24 · 10 ⁻⁷	9.63 · 10 ⁻⁹	1.45 · 10 ⁻⁶	1.04 · 10 ⁻⁶	5.65 · 10 ⁻⁷
⁴⁷ Ca	2.69 · 10 ⁻¹²	1.67 · 10 ⁻¹²	1.02 · 10 ⁻¹²	6.02 · 10 ⁻¹²	7.02 · 10 ⁻¹²				
⁴⁸ Ca	4.56 · 10 ⁻¹⁶	1.67 · 10 ⁻¹⁷	2.02 · 10 ⁻¹⁷	1.57 · 10 ⁻¹⁴	7.83 · 10 ⁻¹⁸	3.04 · 10 ⁻¹³	4.24 · 10 ⁻¹⁴	3.42 · 10 ⁻¹³	3.42 · 10 ⁻¹³
⁴⁹ Ca	1.14 · 10 ⁻⁷	4.87 · 10 ⁻⁸	2.03 · 10 ⁻⁸	2.17 · 10 ⁻⁹	3.29 · 10 ⁻¹¹	4.34 · 10 ⁻⁹	9.26 · 10 ⁻⁹	3.89 · 10 ⁻⁸	3.89 · 10 ⁻⁸
⁴⁹ r	6.41 · 10 ⁻⁴	9.02 · 10 ⁻⁶	6.03 · 10 ⁻⁷	2.26 · 10 ⁻⁷	3.00 · 10 ⁻⁸	2.95 · 10 ⁻¹⁰	3.22 · 10 ⁻⁸	2.89 · 10 ⁻⁷	4.36 · 10 ⁻⁷
⁴⁷ r	1.74 · 10 ⁻⁴	9.49 · 10 ⁻⁷	1.06 · 10 ⁻⁷	4.21 · 10 ⁻⁸	1.06 · 10 ⁻⁸	2.45 · 10 ⁻¹⁰	4.30 · 10 ⁻⁸	2.13 · 10 ⁻⁸	3.72 · 10 ⁻⁸
⁴⁸ r	5.01 · 10 ⁻³	3.67 · 10 ⁻⁵	8.01 · 10 ⁻⁶	1.09 · 10 ⁻⁵	2.20 · 10 ⁻⁶	4.58 · 10 ⁻⁸	6.71 · 10 ⁻⁶	5.18 · 10 ⁻⁶	1.80 · 10 ⁻⁶
⁴⁹ r	1.82 · 10 ⁻⁴	1.50 · 10 ⁻⁶	3.45 · 10 ⁻⁷	1.06 · 10 ⁻⁷	7.72 · 10 ⁻⁸	1.03 · 10 ⁻⁹	1.45 · 10 ⁻⁷	1.83 · 10 ⁻⁷	2.38 · 10 ⁻⁷
⁵⁰ r	1.13 · 10 ⁻¹⁰	1.07 · 10 ⁻¹¹	1.01 · 10 ⁻¹¹	2.01 · 10 ⁻¹²	3.10 · 10 ⁻¹⁴	1.02 · 10 ⁻¹³	1.02 · 10 ⁻¹²	1.02 · 10 ⁻¹²	1.02 · 10 ⁻¹²
⁵¹ V	7.10 · 10 ⁻³	9.06 · 10 ⁻⁴	9.27 · 10 ⁻¹⁰	7.91 · 10 ⁻¹⁰	8.07 · 10 ⁻¹¹	1.15 · 10 ⁻¹²	1.43 · 10 ⁻¹⁰	2.47 · 10 ⁻¹⁰	6.64 · 10 ⁻⁹
⁵² V	6.17 · 10 ⁻⁹	4.19 · 10 ⁻¹⁰	1.01 · 10 ⁻⁹	3.05 · 10 ⁻¹⁰	1.01 · 10 ⁻¹⁰	3.06 · 10 ⁻¹²	4.47 · 10 ⁻¹⁰	2.73 · 10 ⁻	

Galactic halo stars

ESO – LP (Cayrel et al. 2004) + peculiar stars

Abundances, [Fe/H]
counts of individual stars

INSTITUT D'ASTROPHYSIQUE DE PARIS

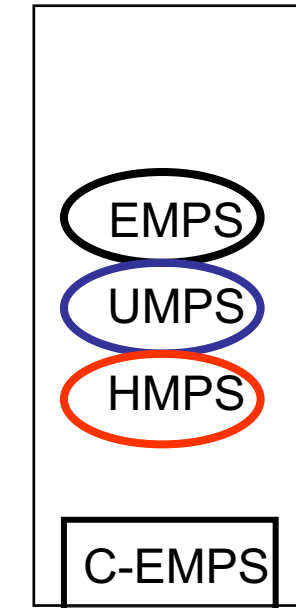
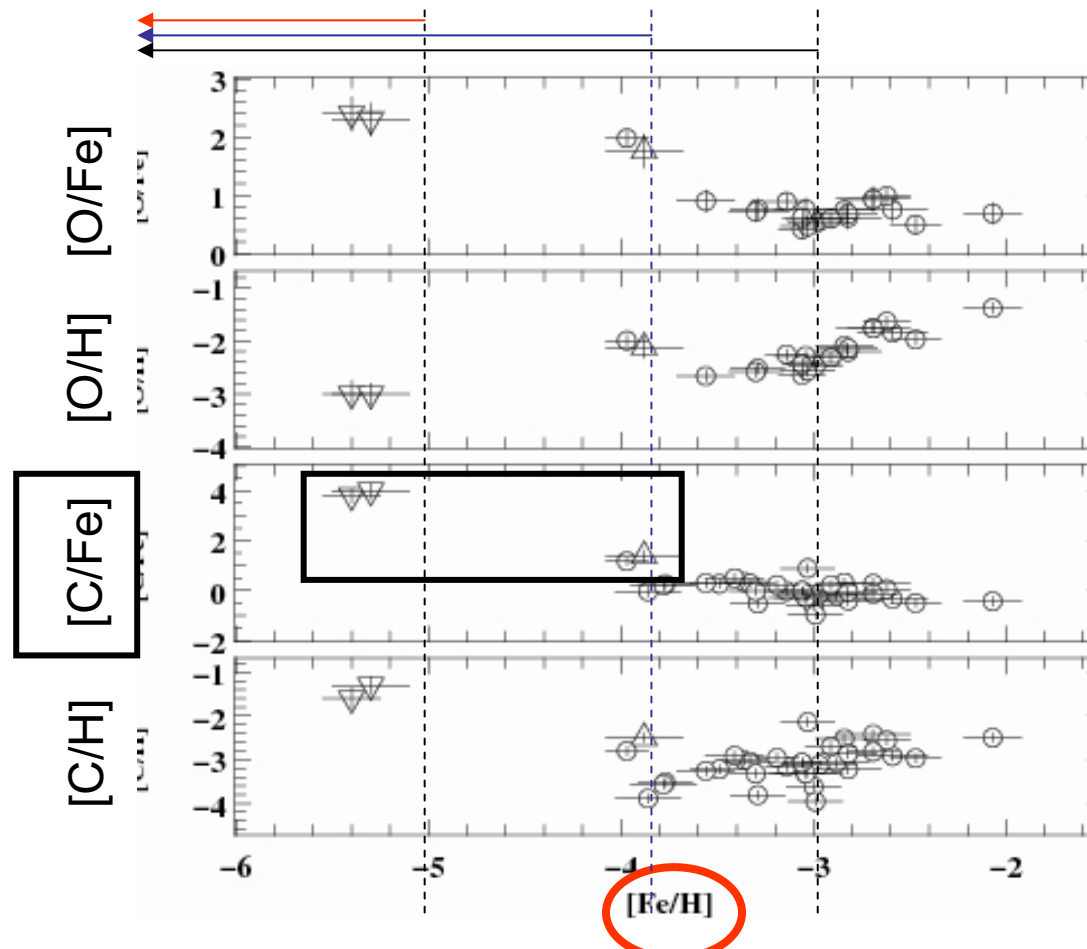
Unité mixte de recherche 7095



CNRS - Université Pierre et Marie Curie

UPMC
PARISUNIVERSITAS

Abundances



INSTITUT D'ASTROPHYSIQUE DE PARIS

Unité mixte de recherche 7095



CNRS - Université Pierre et Marie Curie

UPMC
PARIS UNIVERSITAS

Existence of UMPS...

$$D_{\text{trans}} = \log(10^{[\text{C}/\text{H}]} + 0.3 \times 10^{[\text{O}/\text{H}]})$$

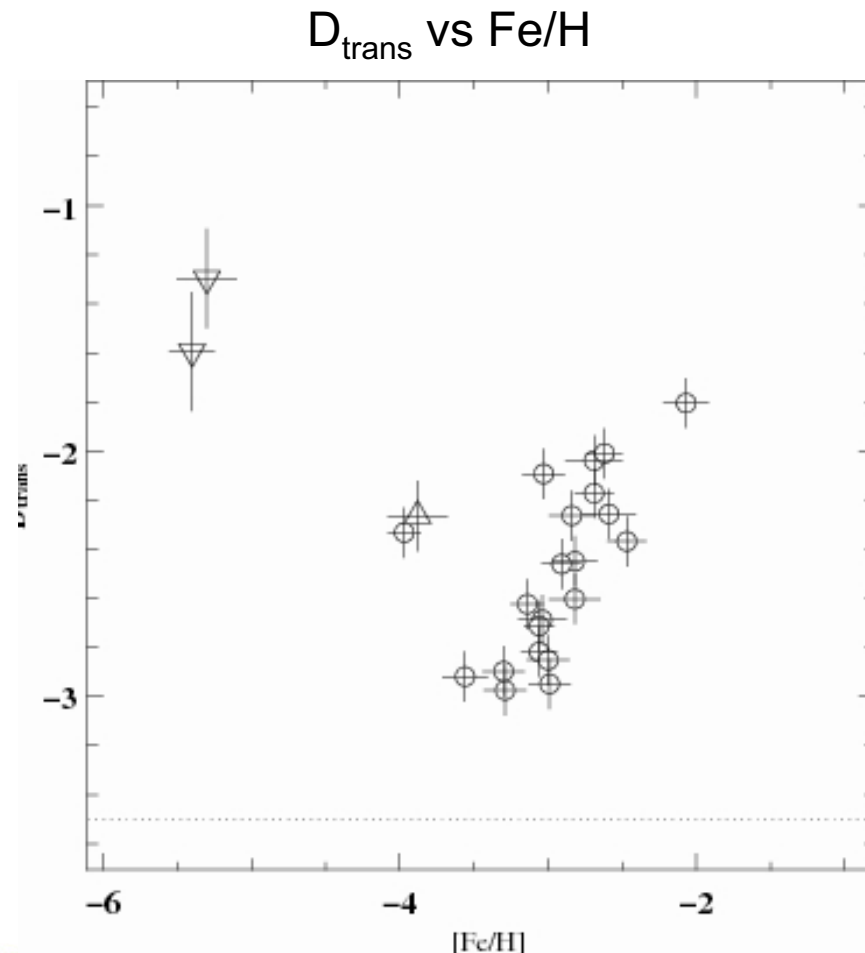
Low-mass criterium :

$$D_{\text{trans}} > -3.5$$

(Bromm & Loeb, 2003)

Santoro & Shull, 2006

Frebel et al. 2007)



INSTITUT D'ASTROPHYSIQUE DE PARIS

Unité mixte de recherche 7095



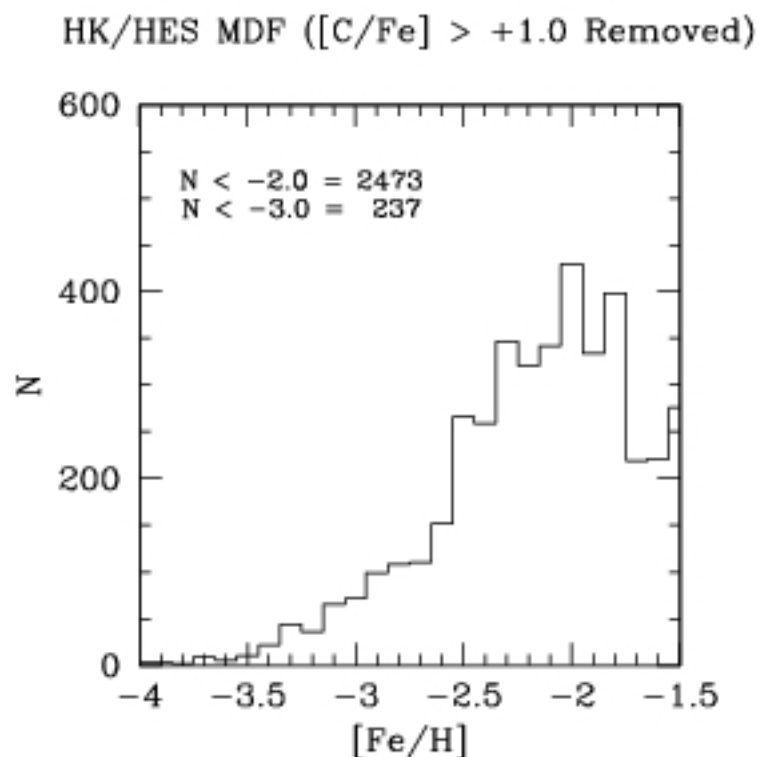
CNRS - Université Pierre et Marie Curie

UPMC
PARIS UNIVERSITAS

Metallicity Distribution Function

MDF counts the number of
Observed galactic halo stars
At a given **Iron abundance**

- Mass of gas, metallicity, SFR
- When and how many low-mass stars are formed



INSTITUT D'ASTROPHYSIQUE DE PARIS

Unité mixte de recherche 7095



CNRS - Université Pierre et Marie Curie

UPMC
PARIS UNIVERSITAS

Galactic halo stars in a cosmological context

- Constraints on SFR
- Cosmological formation of low-mass stars...

INSTITUT D'ASTROPHYSIQUE DE PARIS

Unité mixte de recherche 7095



CNRS - Université Pierre et Marie Curie

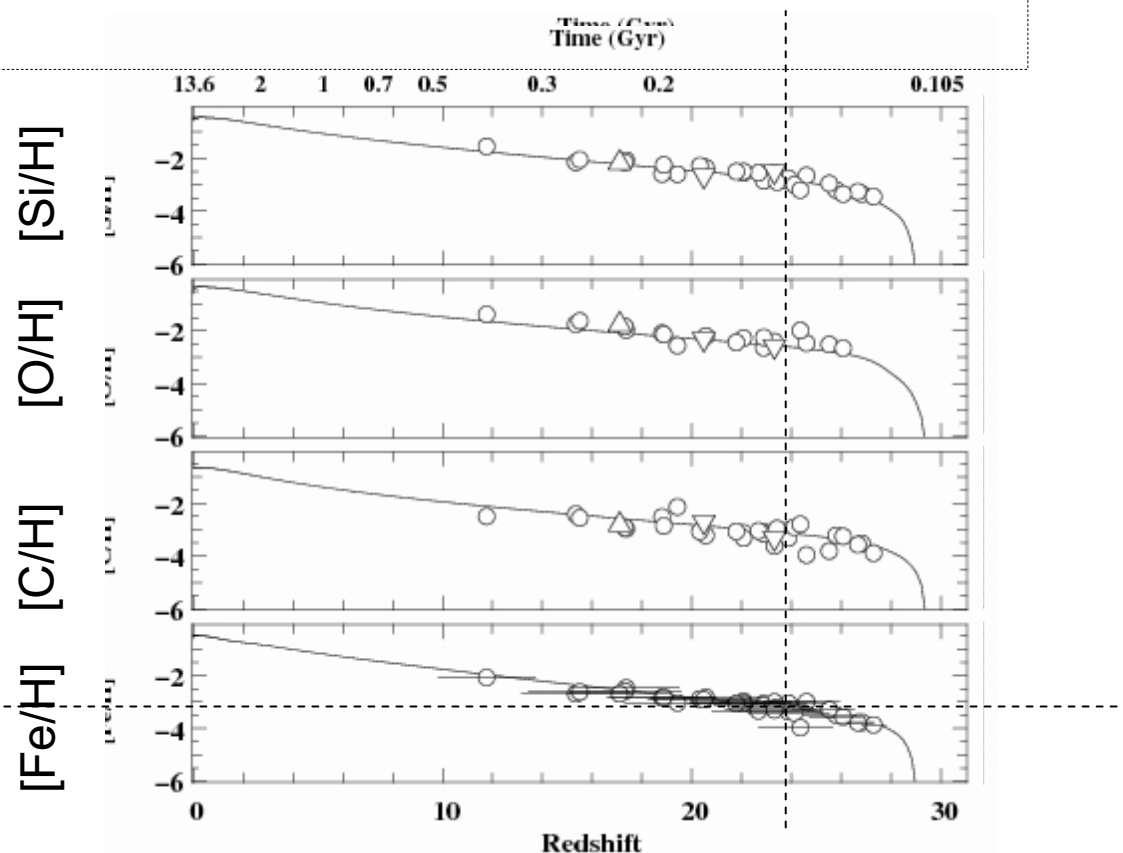
UPMC
PARIS UNIVERSITAS

EMPS and PopII

Assumption : Intermediate mass stars – Salpeter IMF + WW95...

ESO-LP only

Yields of
WW95
reproduce
Observed
EMPS
abundances !



INSTITUT D'ASTROPHYSIQUE DE PARIS

Unité mixte de recherche 7095

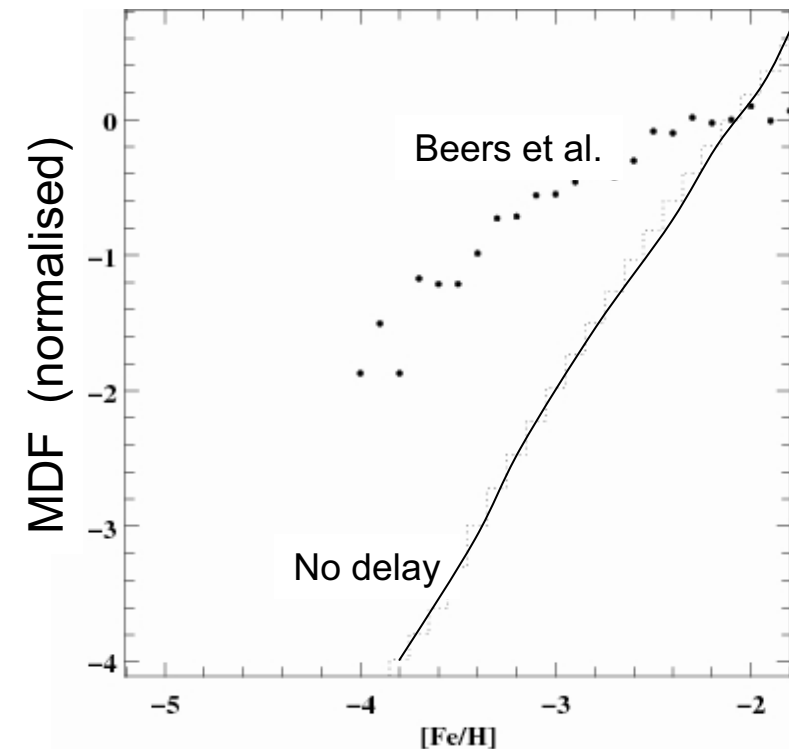
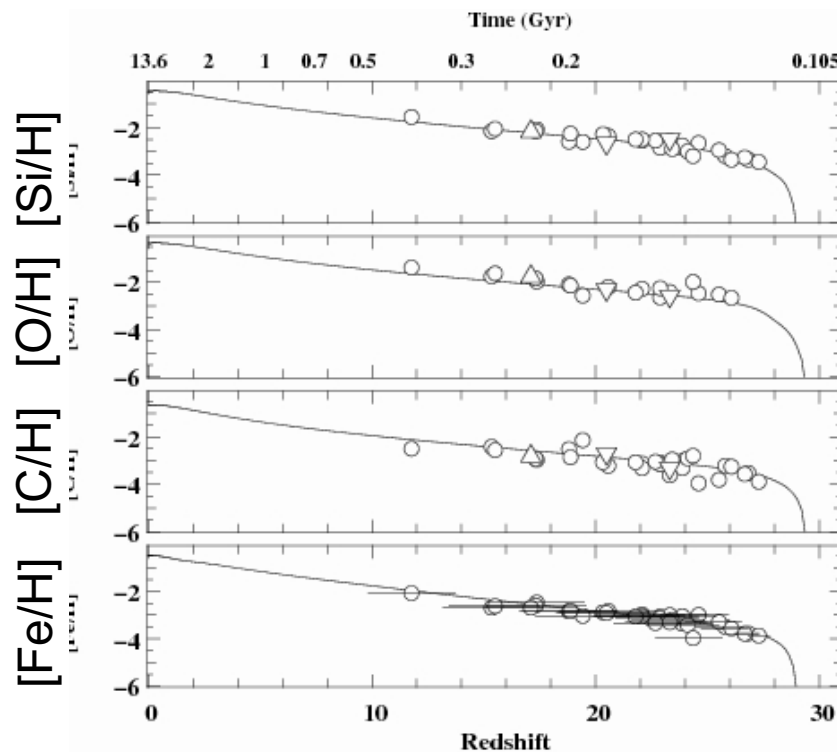


CNRS - Université Pierre et Marie Curie

UPMC
PARIS UNIVERSITAS

EMPS and PopII

Assumption : Intermediate mass stars – MDF constraint...



INSTITUT D'ASTROPHYSIQUE DE PARIS

Unité mixte de recherche 7095

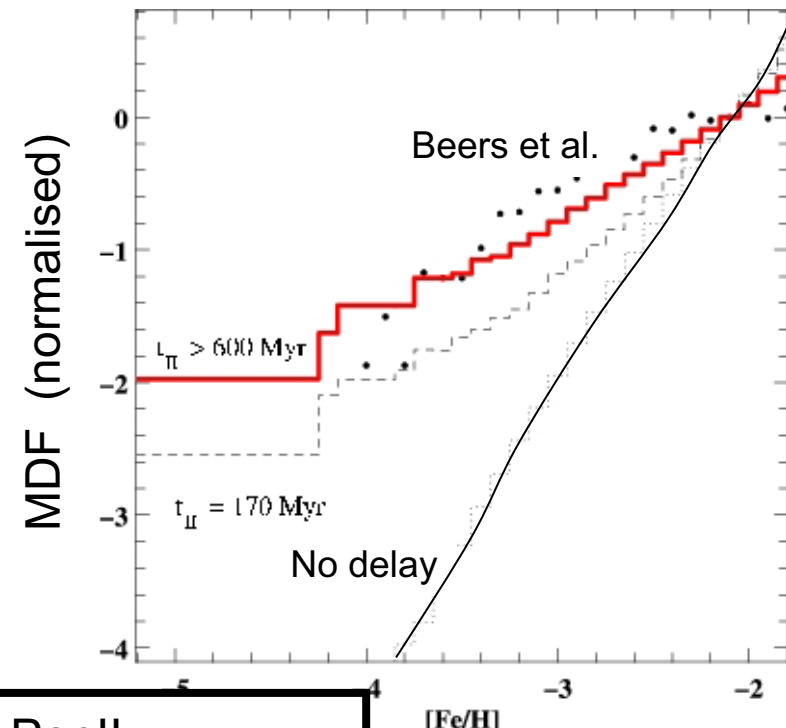
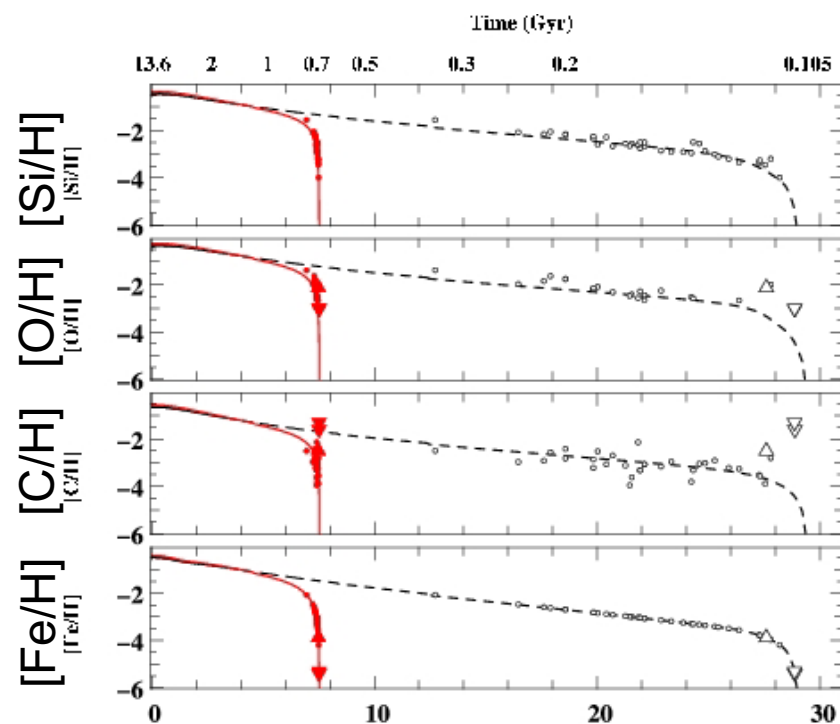


CNRS - Université Pierre et Marie Curie

UPMC
PARIS UNIVERSITAS

EMPS and PopII

Assumption : Intermediate mass stars – MDF constraint...

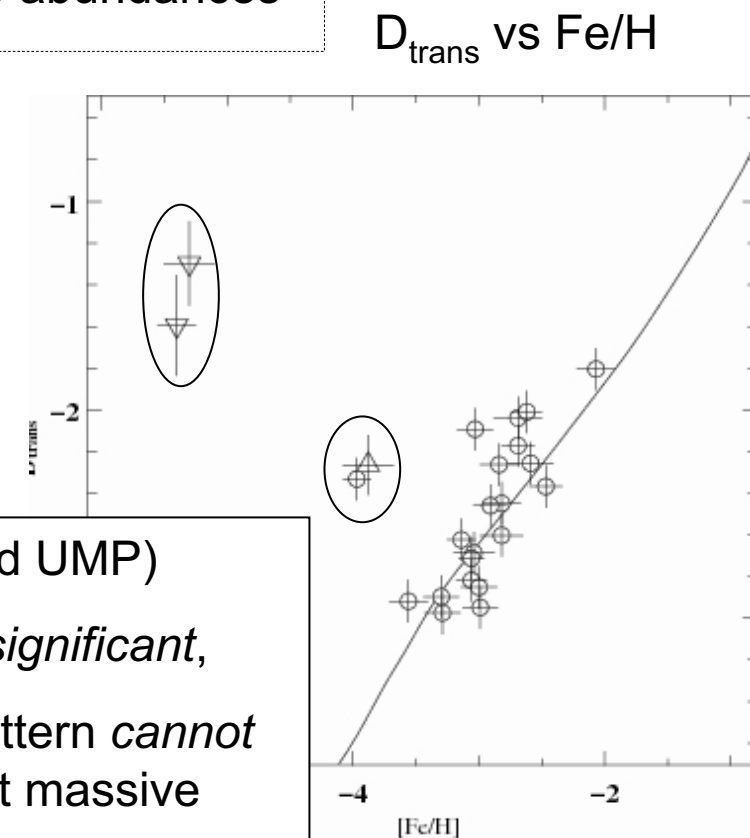
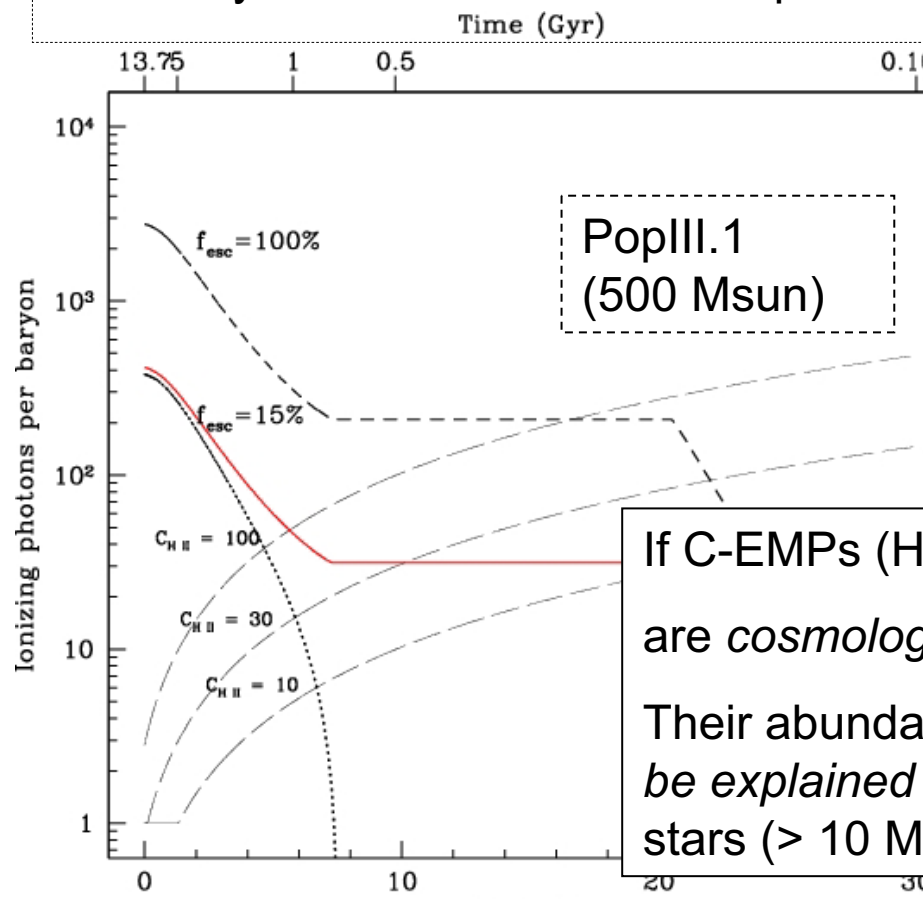


Delayed formation of PopII :

Consistent with hydro-simulation results !!

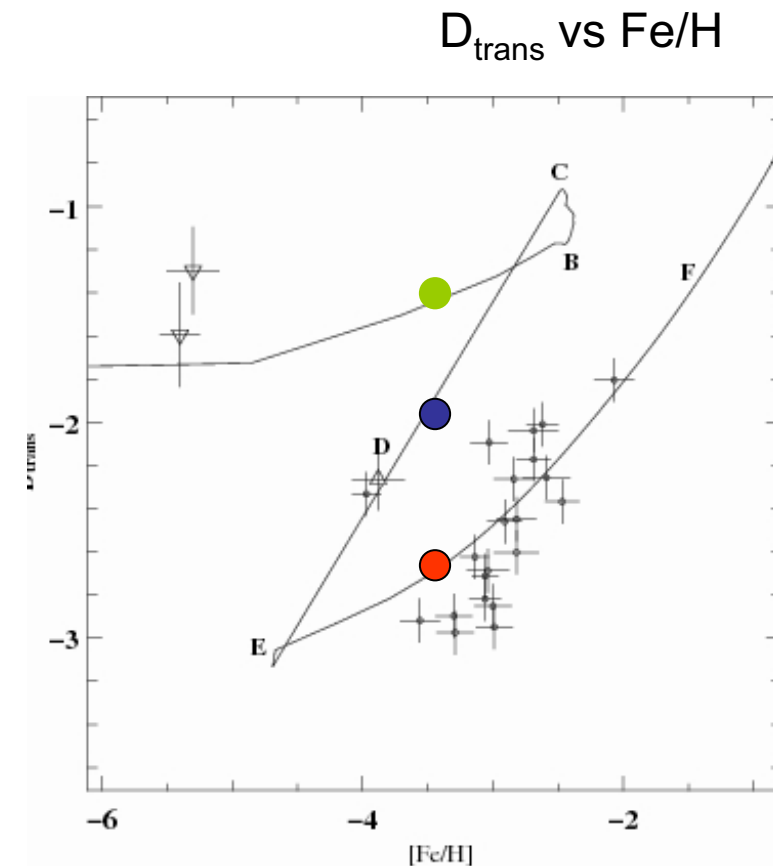
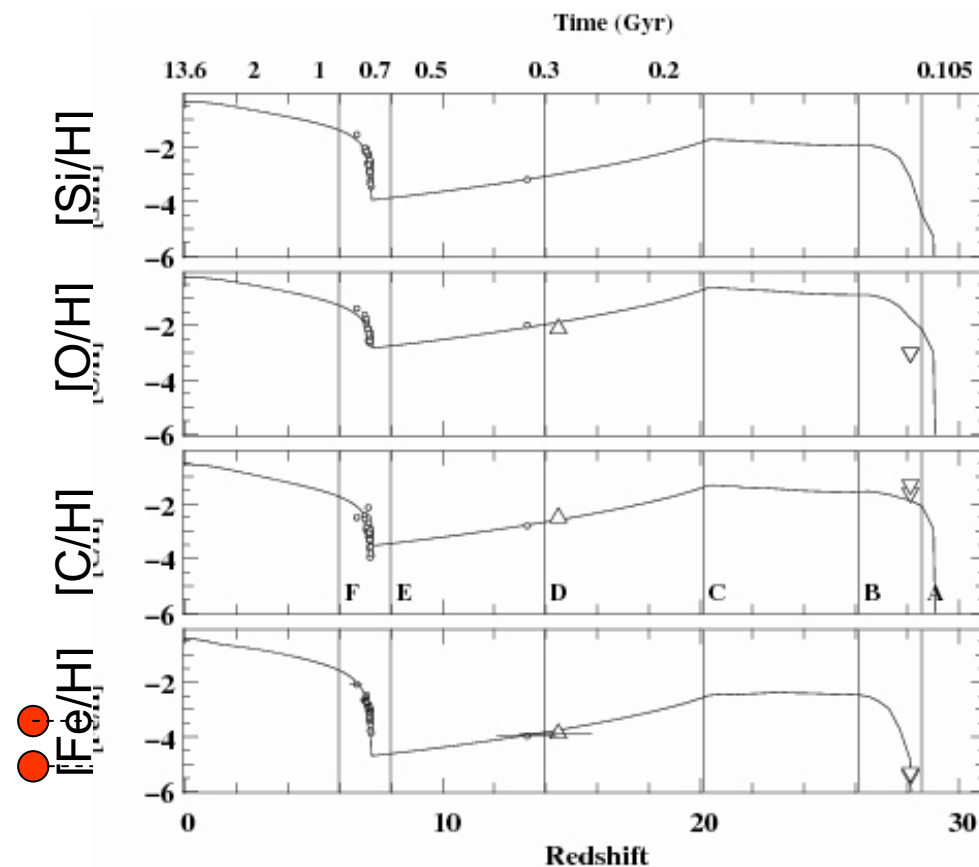
Massive Stars

Intermediate mass stars do not allow for an early reionization
 Very massive stars do not explain C-EMPS abundances



HMPs and PopIII.2

Assumption : delayed PopII ; PopIII.1 **and** PopIII.2



INSTITUT D'ASTROPHYSIQUE DE PARIS

Unité mixte de recherche 7095

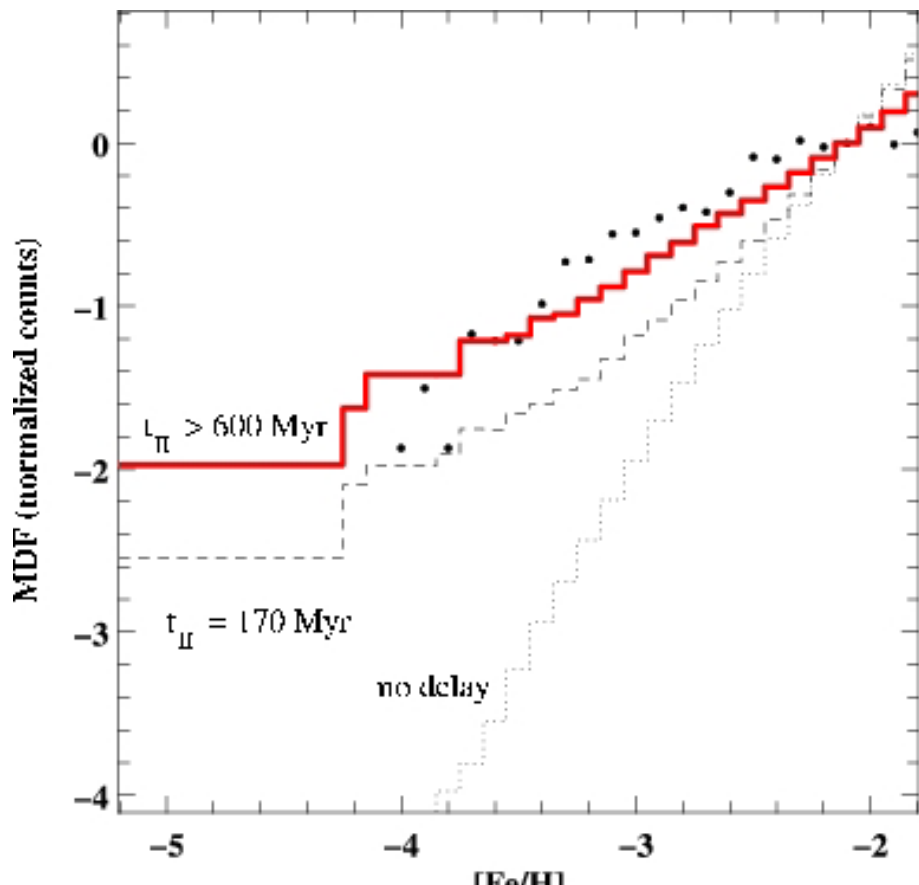


CNRS - Université Pierre et Marie Curie

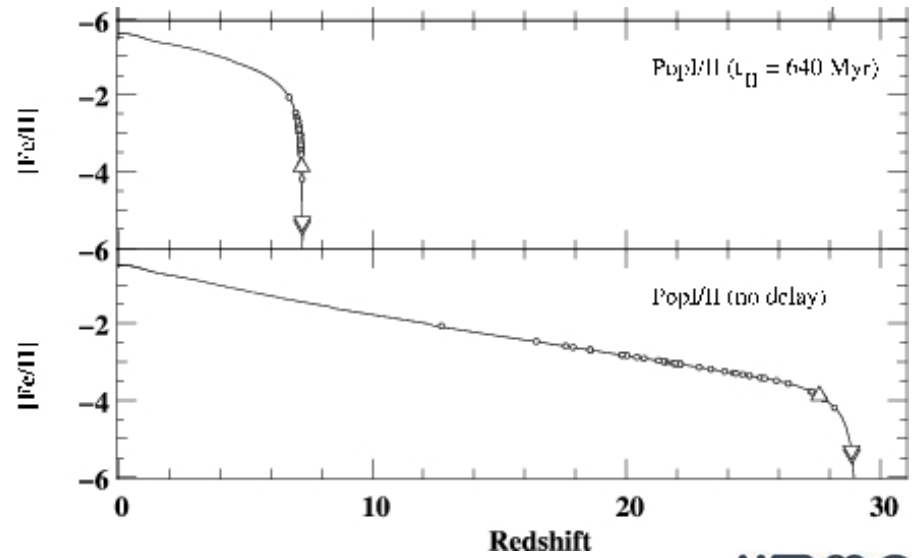
UPMC
PARIS UNIVERSITAS

Pop II / Pop III.2 / PopIII.1 stars

Assumption : PopII +....

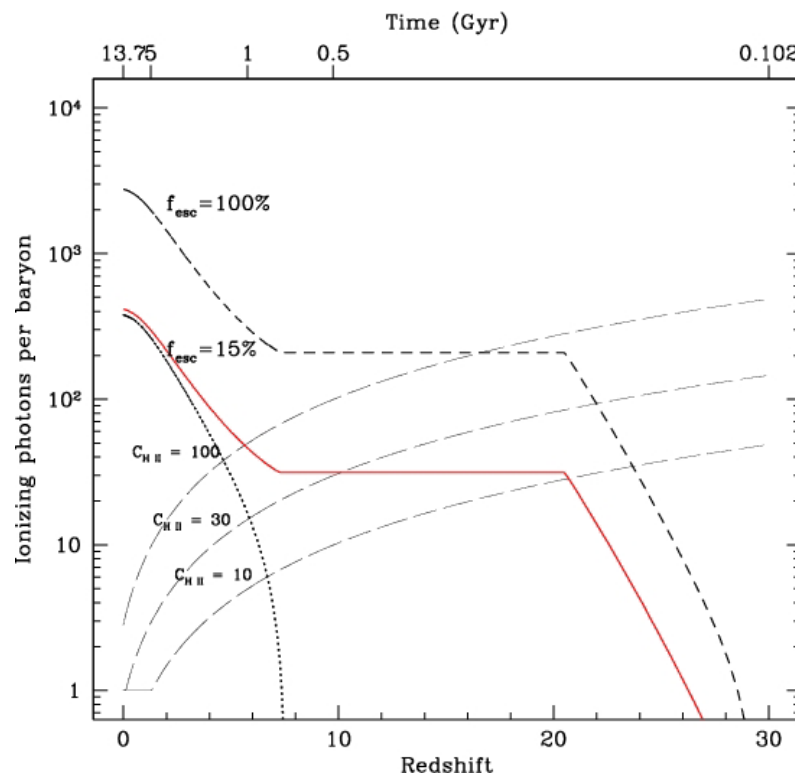


Requirement (time evolution):
delay for PopII (MDF)

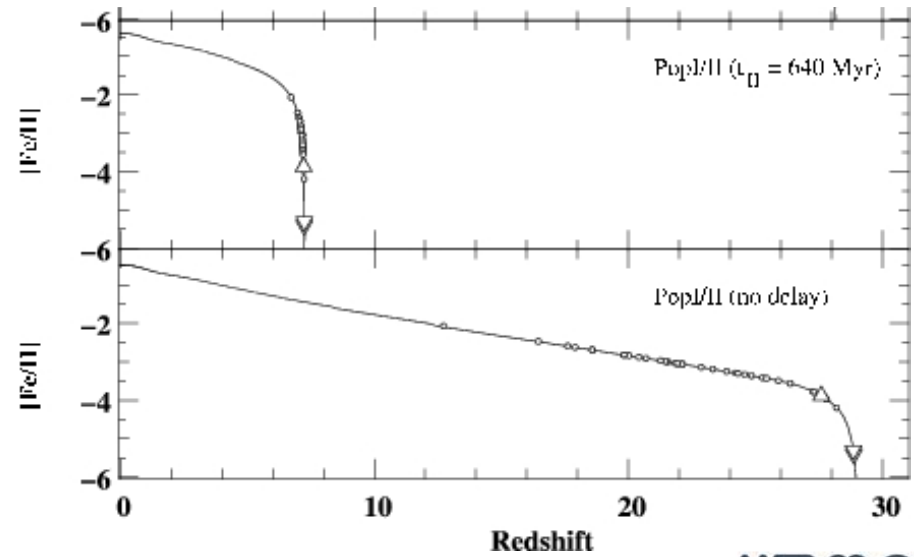


Pop II / Pop III.2 / PopIII.1 stars

Assumption : PopII + PopIII.1 +....



Requirement (time evolution):
delay for PopII (MDF)
PopIII.1 (reionization)



INSTITUT D'ASTROPHYSIQUE DE PARIS

Unité mixte de recherche 7095

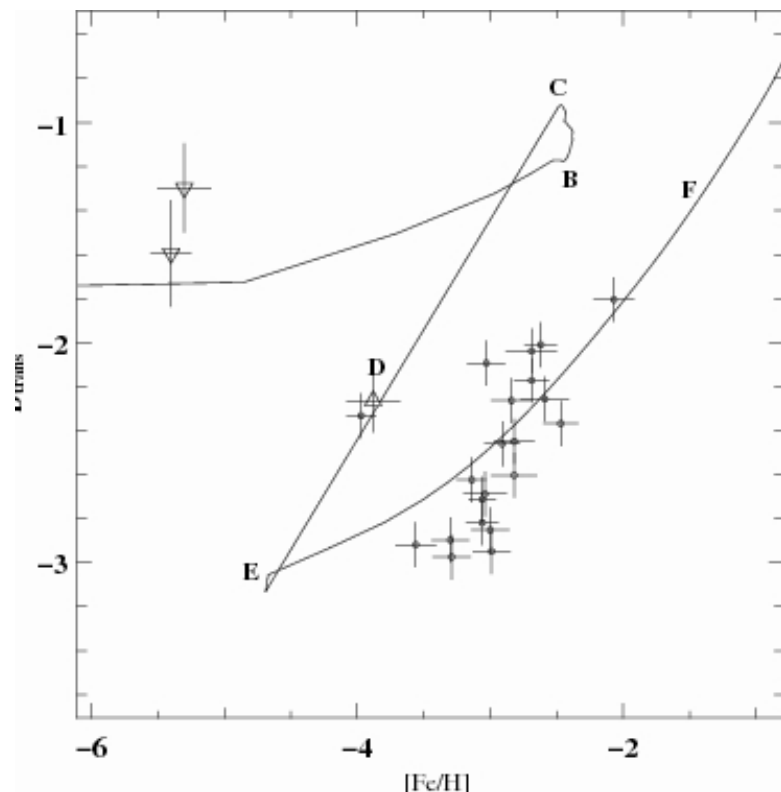


CNRS - Université Pierre et Marie Curie

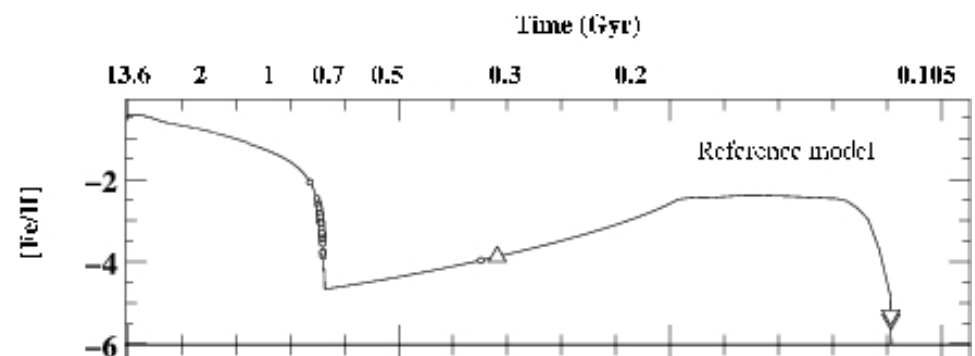
UPMC
PARIS UNIVERSITAS

Pop II / Pop III.2 / PopIII.1 stars

Assumption : three modes of star formation +....



Requirement (time evolution):
 delay for PopII (MDF)
 PopIII.1 (reionization)
 limited PopIII.2 (CEMP HMP-UMP / EMP)



INSTITUT D'ASTROPHYSIQUE DE PARIS

Unité mixte de recherche 7095



CNRS - Université Pierre et Marie Curie

UPMC
PARIS UNIVERSITAS

Link between low and high redshift

New area : First stars and halo stars

- constraints on IMF and SFR cosmological history
- accurate determination of the formation epoch of halo stars

Link with nuclear physics and stellar evolution

Needs for yields at zero and low metallicities

Still some (too) simple assumptions

homogeneity / average values ?

Yet, reasonable fit to mean trend of all data

global picture similar to simulation outputs !

Larger samples of MPS...

Number of HMP, UMPS ? C-EMPS ?

Evolution in D_{trans} ?